

# TECHNIKA CIEPLNA

CZASOPISMO STOWARZYSZENIA DOZORU KOTŁÓW W WARSZAWIE

OFICJALNY ORGAN POLSKIEGO KOMITETU NORMALIZACYJNEGO DLA SPRAW KOTŁOWYCH

REDAKTOR: Inż. techn. JAN KOMARNICKI

Wydawca: Stowarzyszenie Dozoru Kotłów w Warszawie.

REDAKCJA I ADMINISTRACJA: WARSZAWA, PIĘKNA 32, m. 12. TEL. 8-81-47.

GODZINY BIUROWE: REDAKCJI—PIĄTKI, OD 18 DO 20, ADMINISTRACJI—CODZIENNIE, OD 10 DO 15.

Inż. R. M.

## BADANIE TURBINY PAROWEJ O MOCY 12500 KW

W jednej z większych elektrowni została zainstalowana nowa turbina parowa typ Zoelly bezpośrednio sprzężona z generatorem prądu trójfazowego, pracująca z kondensacją, którą po raz pierwszy uruchomiono w marcu 1927 roku.

**Dane dla turbiny.** Maximalna trwała moc turbogeneratorsa oddawana netto, tj. po odjęciu mocy zużywanej do napędu motorów urządzeń kondensacyjnych ma wynosić 12500 kW; ciśnienie pary dolotowej 14 at; temperatura pary przegrzanej 300°C; ilość obrotów  $n = 3000 \text{ obr/min}$ , próżnia, mierzona na kryzie wylotowego króćca turbiny, 38 mm sł. rt.

**Dane dla generatora.** Moc 18750 K. V. A.;  $\cos \varphi = 0,7$ ; 6600 V; 1650 A; 50 okresów/sek;  $n = 3000 \text{ obr/min}$ .

**Celem badania było.** 1. Stwierdzenie maksymalnej trwałej mocy oddawanej przez turbinę.

2. Stwierdzenie zużycia pary przez turbinę przy obciążeniach: 100%, 80%, 60%, 40%.

3. Zbadanie regulacji.

4. Zbadanie urządzeń dla wody chłodzącej kondensator co do ich pracy na „syfon“.

5. Stwierdzenie czasu usuwania powietrza z kondensatora przed uruchomieniem turbiny.

6. Spostrzeżenia odnośnie do wykonania i funkcjonowania poszczególnych części turbiny.

**Gwarancje udzielone przez dostawcę.** a) Maximalna trwała moc turbogeneratorsa oddawana netto ma wynosić 12500 kW.

b) Zużycie pary dla warunków jak wyżej podano — ma wynosić:

Obciążenie turbogeneratorsa netto	%	100	80	60	40
	kW 12500	10000	7500	5000	
Zużycie pary w kg/kWh		5,4	5,3	5,43	5,8

Dla wyszczególnionego zużycia pary zastrzegł sobie dostawca tolerancję w wysokości 2,5% w okresie gwarancyjnym. Jednak i po uwzględnieniu tolerancji uznał dostawca swoje gwarancje za dane „bona fide“.

c) Regulacje:

1. całkowita niejednostajność regulacji ma wynosić 5 — 6%,

2. przez oddziaływanie (ręczne lub elektryczne) możliwa jest zmiana normalnej ilości obrotów o  $\pm 5\%$ ,

3. regulator bezpieczeństwa ma działać przy przekroczeniu normalnej ilości obrotów o  $\pm 10\%$ .

d) Czas zużyty przy rozruchu do uzyskania dostatecznej próżni, aby puścić parę na turbinę, ma wynosić 7 — 10 minut.

### Wyniki badania.

Badanie przeprowadzili inżynierowie Stowarzyszenia Dozoru Kotłów w Warszawie. Od dnia uruchomienia turbogeneratorsa był w ruchu łącznie około 11.000 godzin. Turbogeneratorsa obciążono tylko oporem wodnym, przytem płyty ze względu na duże niszczone moce były zanurzone w rzece, płynącej obok elektrowni.

Czas pomiarów dla zużycia pary wynosił nie mniej niż 30 minut dla każdego obciążenia, licząc od chwili ustalenia się stanu równowagi.



Przeliczenie zużycia pary przez turbinę z warunków pomiarowych na warunki gwarantowane dokonano dwoma sposobami:

1. według krzywych dostarczonych przez dostawcę;

2. według spadków adyabatycznych z uwzględnieniem zmiany sprawności termodynamicznej w zależności od temperatury pary dolotowej, czyli według wzoru:

$$G_{gw} = G_{zm} \frac{\Delta i_{zm} \cdot \eta_{zm} - \frac{Ac^2}{2g}_{zm}}{\Delta i_{gw} \cdot \eta_{gw} - \frac{Ac^2}{2g}_{gw}}$$

W przeliczeniu tem nie uwzględniono strat wylotowych, ponieważ dostawca nie dostarczył krzywych  $\frac{Ac^2}{2g}$

## PRZELICZENIE I.

WYSZCZEGÓLNIENIE	Wymiar	P o m i a r			
		I.	II.	III.	IV.
Obciążenie turbogenerators . . . . .	%	90	80	60	40
Moc turbogenerators brutto . . . . .	kW	11524	10248	7566	5149
Moc zużyta na napęd kondensacji . . . . .	kW	257	256	256	255
Moc turbogenerators netto . . . . .	kW	11267	9992	7310	4894
Kondensat z kondensators . . . . .	kg/h	63920	56760	43120	29890
Para do eżektors pow. I stopn. . . . .	"	120	110	110	110
Para zużyta przez turbinę . . . . .	kg/h	63800	56650	43010	29780
Spółczynnik ze względu na ciśn. dolot. . . . .		0,995	0,998	1,002	1,001
Spółczynnik ze względu na temp. dolot. . . . .		1,038	1,028	1,026	1,044
Spółczynnik ze względu na próżnię . . . . .		0,986	0,985	1,002	1,01
Zużycie pary po przeliczeniu dla warunków gwarancyjnych . . . . .	kg/h	63700	57200	44350	31400
	kg/kWh	5,65	5.72	6,07	6,42

<sup>1)</sup>

Na wykresie (rys. 1) podano krzywe zużycia pary przez turbinę.

Na podstawie przeprowadzonych badań stwierdzono:

1. Maximalna trwała moc turbogenerators wynosi około 11270 kWe;

2. Zużycie pary po przeliczeniu na warunki gwarancyjne wynosi<sup>1)</sup>:

<sup>1)</sup> Por. Przeliczenie II i zestawienie strona 132.



## P R Z E L I C Z E N I E I I.

W Y S Z C Z E G Ó L N I E N I E	Wymiar	P o m i a r			
		I.	II.	III.	IV.
Obciążenie turbogenerators . . . . .	%	90	80	60	40
Moc turbogenerators netto . . . . .	kW	11267	9992	7310	4894
Para zużyta przez turbinę . . . . .	kg/h	63800	56650	43010	29780
Ciśnienie pary dolotowej . . . . .	ata	13,6	13,8	14,2	14,1
Temperat. pary dolotowej . . . . .	°C	329	321	320	334
Próżnia w kondensatorze . . . . .	ata	0,065	0,058	0,050	0,037
Spadek adjabat. $\Delta i_{zm}$ . . . . .	kal/kg	217	220	225	237
<b>Warunki gwarancyjne:</b>					
Ciśnienie pary dolotowej . . . . .	ata	14,0	14,0	14,0	14,0
Temperat. pary dolotowej . . . . .	°C	300	300	300	300
Próżnia w kondensatorze . . . . .	ata	0,052	0,052	0,052	0,052
Spadek adjabat. $\Delta i_{gw}$ . . . . .	kal/kg	218	218	218	218
Zużycie pary po przeliczeniu dla warunków gwarantowanych . . . . .					
	kg/h	64700	57700	44800	33050
	kg/kWh	5,74	5,77	6,13	6,75

## Z E S T A W I E N I E.

Dla obciążenia netto turbogenerators . . .		%	max	80	60	40
		kW	11267	10000	7500	5000
Zużycie pary po przeliczeniu wg sposobu	I	kg/kWh	5,65	5,72	5,98	6,50
	II		5,74	5,77	6,09	6,71

3. Przepust turbiny wynosi około 64000 kg pary/h.

4. Regulacja po uskutecznieniu poprawek przez dostawcę wykazała:

- a) przy raptownem odciążeniu turbogenerators z 11500 kW na 0 kW obroty wzrosły chwilowo z 2960 na 3450 obr/min, czyli o przeszło 16%

b) regulator bezpieczeństwa działa przy 3280 obr/min.

c) przez oddziaływanie na regulator można zmienić normalnie ilość obrotów o  $\pm 5\%$ .

5. Czas zużyty przy rozruchu do uzyskania dostatecznej próżni aby puścić parę na turbinę wynosi (dla turbiny rozgrzanej) 6—8 minut.

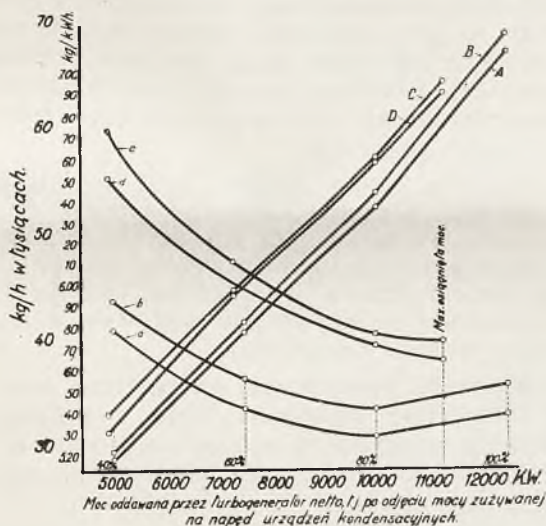
## Wnioski.

1. Turbina nie daje gwarantowanej maksymalnej mocy netto 12500 kW, lecz zaledwie około 11270 kW, co jest spowodowane nie tylko zadużem jednostkowym zużyciem pary,

lecz także zamałem przepustem turbiny, który wynosi tylko około 64000 kg/h, zamiast wg. gwarancji z uwzględnieniem 2,5% tolerancji około 69000 kg/h.

2. Zużycie pary w porównaniu z gwarancjami daje następujące przekroczenie.

Dla obciążenia turbogeneratorsa netto .	kW	5000	7500	10000	11267	12500
Gwarantowane zużycie pary . . . . .	kg/kWh	5,8	5,43	5,3	—	5,4
Gwarantowane zużycie pary z 2,5% tolerancją . . . . .	„	5,94	5,57	5,43	—	5,54
Otrzymane drogą pomiaru . . . . .	„	(6,50 <sup>1)</sup> —(6,71 <sup>2)</sup> )	5,98 — 6,09	5,72 — 5,77	—	5,65 — 5,74
Przekroczenie gwarancji . . . . .	„	0,56 <sup>1)</sup> —0,77 <sup>2)</sup> )	0,41 — 0,52	0,29 — 0,34	—	—



Rys. 1. Wykres zużycia pary przez turbinę.

Oznaczenia:

- krzywa A, wzgl. a — gwarant. zużycie pary w kg/h  
wzgl. w kg/kWh,  
krzywa B, wzgl. b — gwarant. zużycie pary + 2,5%  
tolerancja w kg/h, wzgl. w kg/kWh,  
krzywa C, wzgl. c — zmierzone zużycie pary przeli-  
czone na warunki gwarancyjne w/g spadków ady-  
abatycznych w kg/h, wzgl. w kg/kWh,  
krzywa D, wzgl. d — zmierzone zużycie pary przeli-  
czone na warunki gwarancyjne w/g krzywych  
dostawcy w kg/h, wzgl. w kg/kWh.

3. Regulacja pod względem niejedno-  
stajności nie odpowiada gwarancjom i wogóle  
wymaganiom ruchowym dla turbogeneratorów.

4. Układ chłodniczy: pompa cyrkula-  
cyjna—kondensator—chłodnica oliwna—chłod-

nica powietrza wymaga przy ruchu na „syfon“  
dławienia przepływu zasuwa na rurociągu  
wylotowym z kondensatora (dla wywołania  
spiętrzenia ciśnienia), w przeciwnym bowiem  
razie woda nie przechodzi przez chłodnicę  
oliwną i powietrzną. Manipulowanie tą za-  
suwą jest kłopotliwe i obniża pewność ruchu,  
a samo dławienie przepływu jest nieekono-  
miczne co do wydajności i sprawności całego  
układu.

5. Płaszcz kondensatora turbiny jest  
żeliwny, które to wykonanie należy uznać  
za nieracjonalne. (Przedstawiciel dostawcy  
zapytany dlaczego dostarczono taki płaszcz  
odpowiedział, że obecnie płaszczy żeliwnych  
firma już nie wykonuje).

6. Pompka oliwna turbiny, dostarcza-  
jąca oliwę do łożysk i serwowatora nie jest  
dobrze konstrukcyjnie rozwiązana, wymaga  
bowiem ciągłych napraw.

7. Motor do napędu pomp do wody  
chłodzącej wykazuje nadmierne nagrzewa-  
nie się.

8. Motor do napędu pompki do kon-  
densatu jest za duży: zainstalowano 17 HP  
(angielskich) = 12,7 kW, gdy maksymalna moc  
pobierana wynosi zaledwie 4 kW.

Powyższe badanie i otrzymane wyniki  
są wielomówiące. Z jednej strony wskazują  
na to, że dostawca nie zawsze wywiązuje się  
z należycie ze swoich zobowiązań, z drugiej  
zaś strony przestroga i wskazanie dla odbior-  
ców, by przy zamówieniu i w umowie tak się  
zabezpieczyli na wypadek niewypełnionej  
umowy i nieosiągniętych gwarancji, aby nie  
ponieśli przy tym strat ani w ruchu, ani na  
samym obiekcie. Przykład ten wskazuje za-  
razem na ważność i potrzebę odbiorów gwa-  
rancyjnych.

<sup>1)</sup> Na podstawie I sposobu przeliczeń.

<sup>2)</sup> Na podstawie II sposobu przeliczeń.



Inż. WŁADYSŁAW PAC.

## NOWOCZESNE INSTALACJE WYSOKOPRĘŻNE

Tematem niniejszego artykułu jest opis kilku zagranicznych wysokoprężnych instalacji silnikowych, zwiedzonych w r. 1930.

(Por. *Technika Ciepła*, str. 85, 1931).

### Elektrownia w Mannheim.

Przechodzę do omówienia 100-atmosferyjnej instalacji w elektrowni w Mannheim. Podczas gdy oba opisane zakłady otrzymują parę o bardzo wysokiej prężności z kotłów zupełnie specjalnej konstrukcji, dostosowanej do właściwości pary wysokoprężnej, w Mannheim nagięto do tego celu zwykły szablon kotła wodnorurkowego.

Instalacja ta powstała przed 3 laty. jako wynik dalszego rozwoju istniejącej już elektrowni. Przed rozbudową siłownia ta posiadała baterię 20-atmosferyjnych kotłów, znajdujących się w dobrym jeszcze stanie, oraz dostosowane do kotłowni prawie nowoczesne turbiny. Dla utrzymania dalszej pracy tych urządzeń kierownictwo postanowiło dobudować instalację czołową, z której para przechodziłaby następnie do istniejących turbin 20-atmosferyjnych.

W ten sposób powstała pierwsza w Europie 100-atmosferyjowa instalacja. Do opalania kotłów zastosowano pył węglowy. Zatrzymano się na tym rodzaju paliwa, kierując się głównie względami ostrożności. Kotły wysokoprężne posiadają stosunkowo mały zapas wody, i w wypadku przerwy w zasilaniu łatwo może nastąpić uszkodzenie kotła, zaś rozmiary szkód są wtedy bardzo zależne od ilości ciepła, dostarczanego nadal przez palenisko. Dlatego ważne jest natychmiastowe przerwanie pracy paleniska, co najprędzej daje się uskutecznić przez odcięcie doprowadzonego pyłu węglowego. Kwestię obsługi kotłów przez oddzielne młyny czy przez wspólną centralną stację—rozstrzygnięto tu na korzyść tej ostatniej. Miał węglowy o dość dużej zawartości wilgoci 12—15% idzie początkowo do osuszacza, skąd wychodzi o wilgotności 2—5%. Osuszanie węgla odbywa się zapomocą pary. Osuszacz posiada konstrukcję bębna obrotowego z szeregiem rurek, rozłożonych równolegle do osi bębna. Rurkami przesuwają się miał, zaś przestrzeń między rurkami zapełnia para o ciśnieniu zredukowanym do 2—3 atn.

Po wyjściu z osuszacza i odżeleźnieniu przez urządzenie magnesowe, miał mielony jest w młynie walcowym syst. Curt von Gräber. Z młyna tego kierownictwo jest bardzo zadowolone. Walce zachowują się dobrze i młyn pracuje bez remontu 2000 do 3000 godzin. Po starciu walce są nadpawane. Po zmiełeniu pył przenoszony jest prądem powietrza do przesiewających cyklonów, skąd idzie do zbiorników głównych. Ze zbiorników tych

pył w miarę potrzeby przepychany jest ślimakiem do bunkrów przy kotłach. Specjalne urządzenie świetlne w sposób bardzo pogładowy wskazuje stale ilość pyłu, zawartego w bunkrach.

Jak zaznaczyłem, zastosowano tu kotły o zwykłej konstrukcji. Ponieważ dla tak wysokich prężności kocioł tego rodzaju wypadł specjalnie drogo, położono nacisk, aby właściwy kocioł posiadał możliwie małe wymiary. Dlatego posunięto daleko podgrzewanie wody, która wchodząc do walczaka o temperaturze 270° sprowadza rolę kotła do najściślejszych granic — dostarczania wodzie prawie tylko ciepła parowania. Dla należytego wyzyskania ciepła spalin zainstalowano wielkie podgrzewacze powietrza. W ten sposób właściwy kocioł zdołano sprowadzić do tak małych rozmiarów, że przy normalnej pracy wydaje on prawie 100 kg pary z 1 m<sup>2</sup> powierzchni ogrzewalnej. Właściwy kocioł, typu stromorurkowego, składa się z dwóch walczaków i pęczka stromych opłomek.

Budowie kotłów trzeba było poświęcić dużo uwagi. Wysokie ciśnienie wymaga grubych ścian walczaka, tem grubszych, że osłabionych znacznie licznymi otworami na opłomki, przyczem trzeba uwzględnić osłabienie wytrzymałości tworzywa pod wpływem panujących wysokich temperatur.

Walczaki, posiadające wewnętrzną średnicę 1000 mm, wykonano kute z jednego bloku. Przy użyciu specjalnej stali o zawartości 1,5% niklu trzeba było ścianom walczaka dać grubość 110 mm.

Opłomki, wykonane ze zwykłej stali, wypadły dość grube, co pociągało olbrzymią pracę przy ich szczelnem rozwałcowaniu i wywoływało powstawanie znacznych naprężeń przy rozszerzaniu w pracy. W tych warunkach łatwo o rozerwanie opłomki, gdy tylko jest ona mniej chłodzona wskutek izolującej choćby najcieńszej warstwy kamienia lub innego osadu.

Kwestja starannego preparowania wody zasilającej występuje więc w tych kotłach specjalnie ostro. I elektrownia w Mannheim miała z tem sporo kłopotu. Nie wystarczało ani zasilanie kotłów kondensatem, ani staranne odgazowywanie go przed rozpoczęciem nowego obiegu. Walka z tlenem, zawartym w wodzie, zwróciła uwagę na utrzymanie wysokiej szczelności skraplaczy.

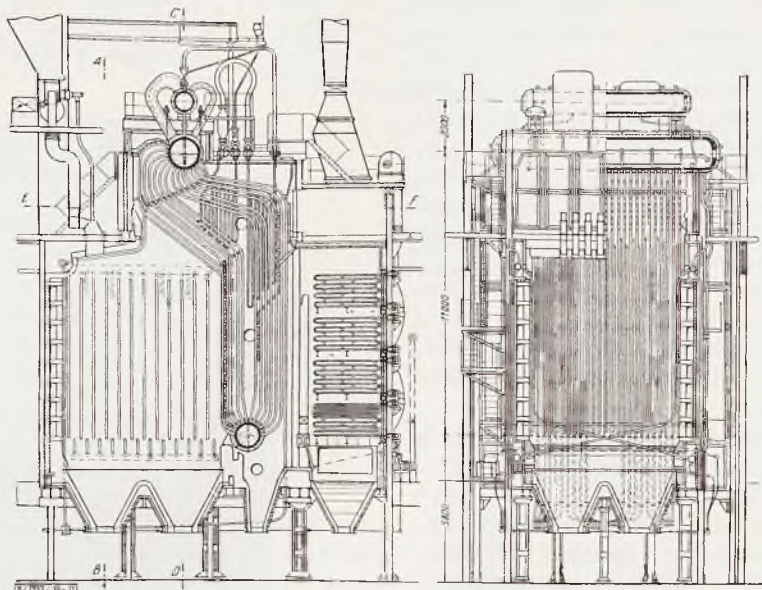
Okazuje się też, że energiczniejsze parowanie wody może być również szkodli-

we, bowiem na ściankach wydzielają się osady, powodujące wybrzuszenie i rozrywanie opłomek. Jak słychać, jeszcze i obecnie kwestja wody jest dużą bolączką tych kotłów.

Każdy kocioł posiada własny przegrzewacz, podnoszący temperaturę pary do  $470^{\circ}\text{C}$ .

Regulacja ta okazała się skuteczna.

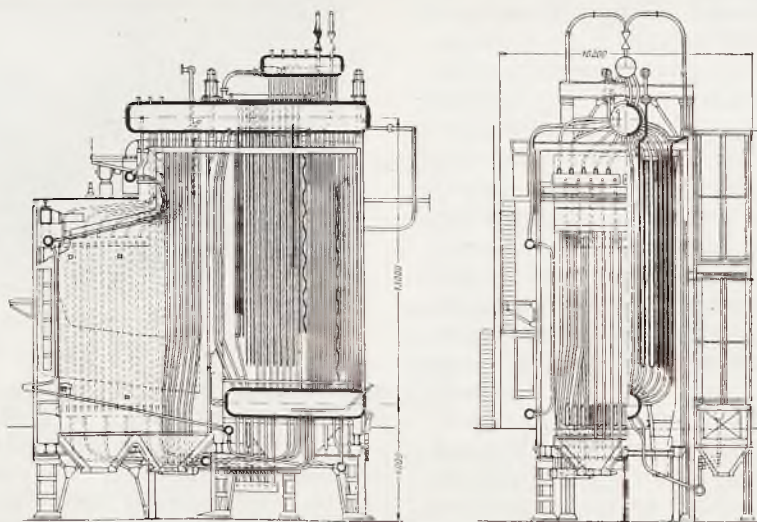
Kotłownia wysokoprężna składa się z 2 kotłów Hanomag oraz 1 kotła Humboldt. Rys. 15. przedstawia konstrukcję kotła Hanomag. Kocioł posiada powierzchnię ogrzewalną  $835\text{ m}^2$ , przegrzewacz —  $453\text{ m}^2$ , podgrzewacz wody —



Rys. 15

Ze względu na tak wysoką temperaturę dla rur przegrzewaczy należało wybrać specjalny materiał. Dlatego przegrzewacz rozdzielono na dwie części. Część chłodniejsza posiada komory zbiorcze ze stali niklowej, zaś węże ze

$668\text{ m}^2$ , podgrzewacz powietrza —  $3400\text{ m}^2$ . Podgrzewacz powietrza — komorowy. Temperatura podgrzanego powietrza wynosi  $250 - 300^{\circ}\text{C}$ . Kocioł posiada komorę paleniskową syst. Lopulco. Rury chłodzące komorę pale-



Rys. 16

zwykłej stali; część pracująca w wyższej temperaturze posiada komory ze stali chromoniklowej, a węże ze stali niklowej. Między obu częściami przegrzewacza zastosowano wtryskiwanie wody w celu regulacji temperatury przegrzewu, co chroni przegrzewacz od przepalania w chwilach forsownej pracy kotła.

niskową tworzą tu jakby oddzielny obieg, związany tylko z górnym walczakiem kotła. Walczaki w tym kotle mają układ poprzeczny. Są one, jak zresztą i w kotle Humboldta izolowane od bezpośredniego działania spalin.

Konstrukcja kotła Humboldt przedstawiona jest na rys. 16.



Kocioł ten posiada powierzchnię ogrzewalną  $716\text{ m}^2$ , przegrzewacz —  $700\text{ m}^2$ , podgrzewacz wody —  $500\text{ m}^2$  i podgrzewacz powietrza  $3400\text{ m}^2$ . Podgrzewacz powietrza — rurowy.

Kocioł ten posiada komorę paleniskową typu A. E. G. Rury chłodzące komorę włączono są do ogólnego biegu i połączone z obu walczakami kotła. Pozatem kocioł Humboldt różni się od poprzedniego głównie podłużnym układem walczaków, co umożliwia wygodniejsze rozmieszczenie podgrzewaczy.

W praktyce kocioł Hanomag jak i palenisko Lopulco okazały się lepsze, i dlatego po ustawieniu początkowo jednego kotła tego typu następnie dobudowano jeszcze drugi.

Przy tych kotłach były trudności z wodowskazami. W wyniku różnych prób zastosowano ostatecznie szkła dzielone, potrójne. Pękają one co 10 — 12 dni. Poziom wody dość słabo widoczny.

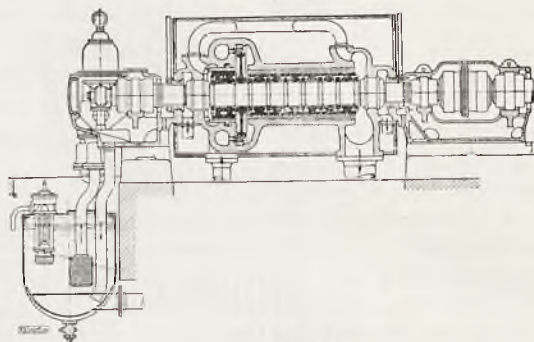
Stosowane początkowo przy kotłach uszczelki miedziane były dostatecznie szczelne, jednak szybko się niszczyły pod wpływem działania prądów elektrolitycznych. Uszczelnienia klingerytowe okazały się nieodpowiednie na tak wysokie temperatury. Dlatego jako szczeliwo zastosowano pakunki z miękkiego żelaza z pierścieniami rowkami.

Przewody parowe łączone są na kołnierze, które wkręcone są na końce rur na gwint, a oprócz tego łączenie oblane jest spawem. Śruby łączące kołnierze wykonane są ze stali chromoniklowej. Pomimo tego po pewnym czasie stwierdzono zluźnianie śrub wskutek ich wydłużenia. Droga obserwacji i specjalnych pomiarów ustaliła, że zjawisko to powstaje wskutek niejednakowego rozgrzewania się poszczególnych części połączenia kołnierzowego, szczególnie przy uruchamianiu kotła. Dla uniknięcia tej wady konieczne więc jest przestrzegać, aby przy uruchamianiu kotła rurociągi były ostrożnie i stopniowo rozgrzewane.

Spaliny, opuszczające kotłownię przy temperaturze  $145^\circ\text{C}$ . poddawane są oczyszczaniu, aby nie zasypywały popiołem okolicy. Filtracja spalin odbywa się suchą drogą w cyklonach syst. Telex, opartych na działaniu siły odśrodkowej. Działają one jakoby sprawnie, zatrzymując 70% części stałych. Poprzednio ustawione cyklony mokre, pracujące za pomocą skrapiania wodą, działały podobno również skutecznie, zostały jednak usunięte ze względu na plagę rozwijających się szybko korozji.

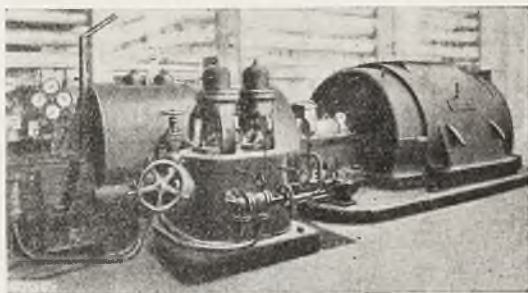
Dział turbin wysokoprężnych składa się z dwóch zespołów. Pierwszy zespół przedstawia dwukadłubowa turbina Brown Boveri o mocy  $7000\text{ kW}$  i  $3000\text{ obr/min}$ . Para wchodzi do turbiny o ciśnieniu  $93\text{ atn}$  i temperaturze  $430^\circ$ . Wychodząca z kadłuba wysokoprężnego para o ciśnieniu  $20\text{ at}$  i temperaturze  $250^\circ\text{C}$ .

tylko częściowo idzie do kadłuba niskiego ciśnienia. Reszta tej pary przegrzewa się powtórnie do temperatury  $350^\circ$  i idzie do przewodu, zasilanego przez kotły 20-atmosferowe, skąd kierowana jest do turbin, znajdujących się w starej instalacji. Kadłub niskiego ciśnienia turbiny wysokoprężnej posiada dwa pobierania pary: przy  $9,5\text{ at}$  i przy  $4,5\text{ at}$ . Para ta idzie na pierwsze podgrzewanie wody zasilającej.



Rys. 17

Drugi zespół turbinowy składa się właściwie z 2 oddzielnych turbin. Turbina wysokoprężna jednokadłubowa budowy Brown Boveri posiada moc  $4800\text{ kW}$  i pracuje takąż parą wlotową, jak poprzednia turbina. Wychodząca z niej para o ciśnieniu  $20\text{ at}$  kierowana jest do turbiny jednokadłubowej Escher i Wyss o mocy  $1250\text{ kW}$ . Turbina ta posiada również pobieranie pary przy  $9,5$  i  $4,5\text{ at}$ , która służy dla podgrzewania wody zasilającej. Rys. 17<sup>1)</sup>



Rys. 18

przedstawia przekrój wysokoprężnej turbiny. Rys. 18 wyobraża jej wygląd zewnętrzny.

Wzmiankowane już międzystopniowe przegrzewanie pobieranej z wysokoprężnych turbin 20 atmosferowej pary odbywa się za pomocą płynącej z kotłów świeżej pary. Zainstalowany w tym celu przegrzewacz syst. Szmatolskiego, przedstawiony jest na rys. 19. Przegrzewacz ten zajmuje niezwykle mało miejsca i zmontowany jest bezpośrednio pod turbiną, umożliwiając przez to skrócenie do minimum przewodów, doprowadzających i odprowadzających przegrzewaną parę.

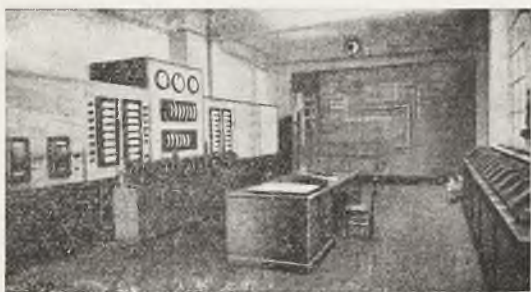
<sup>1)</sup> Z. V. D. I. 1930.





Brown Boveri o mocy 20000 kW oraz jedna turbina AEG na 12500 kW. Do turbin tych wchodzi para o ciśnieniu 17 at i temperaturze 350°C.

Z całokształtu pracy opisywanej instalacji widać, że układ tego zakładu ciepłego jest bardziej skomplikowany. Prowadzenie jego wymaga dużej czujności. Dlatego spotykamy tu mnóstwo przyrządów pomiarowych, rejestrujących i orientacyjnych. Poza bogatą aparaturą przy kotłach istnieje tu specjalna sala, skupiająca wszystkie urządzenia pomiarowe, dające możliwość dokładnego obserwowania pracy całego zakładu. Bardzo ładnie urządzona ta sala rozprasza uwagę niewtajemniczonego mnóstwem zainstalowanych aparatów. Widzimy ją na rys. 21.



Rys. 21

Na uwagę zasługuje urządzona na ścianie olbrzymia tablica orientacyjna całego zakładu, na której różnymi kolorami są oświetlone pracujące części instalacji. Oświetleniowe urządzenie tej tablicy działa zupełnie automatycznie.

Prócz zwykłej regulacji opisywany zakład ciepły posiada też częściową regulację samoczynną typu „Askania”. Przyjęto tu jako zasadę, że instalacja wysokoprężna, jako bardziej ekonomiczna, winna pracować na pełną moc i możliwie równomiernie. Normalne wahania obciążeń podejmuje więc instalacja 20-atmosferowa. Przy zmianie obciążenia daje się odczuwać skłonność do zmiany prężności pary w przewodzie 20-atmosferowym, co jest impulsem dla samoczynnej regulacji. Działła ona przedewszystkiem na kotły średnioprężne, dostarczając ich pracę do zmienionego zapotrzebowania pary. Dopiero gdy ta część instalacji nie może podołać zbyt wielkiemu zapotrzebowaniu, regulacja przenosi się również na kotły wysokoprężne.

W pokonywaniu zmiennych obciążeń dużą też rolę odgrywa opisana cieplarka, absorbując nadmiar wytwarzanej pary lub też kierując całą parę do turbin dla wytwarzania większej mocy.

Koszty zakładowe tej instalacji wysokoprężnej nie były podobno wysokie. Właściwy kocioł, jego osprzęt, jakoteż przewody i pompy

wypadają bezwzględnie drożej, niż dla takiej instalacji o średniej prężności. Turbiny ze względu na zmniejszone wymiary wypadają jednak taniej. Dla szeregu urządzeń wysokość ciśnienia pary nie odgrywa żadnej roli, natomiast budynki wypadają taniej ze względu na zmniejszone zapotrzebowanie miejsca. Kalkulacja wykazała podobno nieznaczną zwyżkę kosztów zakładowych w porównaniu do takiej instalacji o niższej prężności.

W ciągu paru lat ostatnich byliśmy świadkami prowadzonej w literaturze fachowej obszernej i gorącej dyskusji w sprawie zalet i wad pary wysokoprężnej. Teoretyczne rozważania wskazywały na wielkie korzyści zastosowania wysokich prężności. Na równi ze zwykłymi konstrukcjami, dostosowanymi do pary wysokoprężnej zaczęły powstawać specjalne konstrukcje kotłów, jak Atmos, Löffler, Schmidt i Benson. Niektóre zakłady rzuciły się do budowy instalacji wysokoprężnych. Ilość tych instalacji rosła początkowo dość szybko.

Obecnie pierwszy impuls gorączkowy minął, ustępując miejsca chłodnej rozwadze i ścisłej kalkulacji. Wysokie koszty zakładowe i duże jeszcze obecnie trudności w pracy tych instalacji zaczęły działać odstraszająco.

W obecnej chwili zdaje się przeważać pogląd, że dla normalnych warunków najdogodniejsze jest ciśnienie pary świeżej 30—40 at. Wysokie ciśnienia mogą się dobrze kalkułować tylko w dużych instalacjach tam, gdzie węgiel jest drogi. Najlepsze warunki dla zastosowania pary wysokoprężnej powinny przedstawiać instalacje, pracujące z przeciwcisnieniem, zwłaszcza jeżeli są związane ze sprzedawaniem pary nazewnątrż.

### Elektrownia w Brnie Morawskim.

W podobnie dogodnych warunkach ma się znajdować nowozbudowana elektrownia w Brnie Morawskim, nosząca nazwę „Westmährisches Elektrizitätswerk A. G.”. Ma ona dostarczać nie tylko prąd, ale również i parę jak na potrzeby fabrykacji dla przemysłu włókienniczego, skoncentrowanego w Brnie, tak i na cele ogrzewnicze dla zakładów i mieszkań.

Zatrzymano się tutaj w wyborze na prężności 65 at i zastosowano kotły o zwykłej konstrukcji, bez uciekania się do specjalnych rozwiązań.

W lipcu r. 1930 instalacja ta była w gorączkowej budowie. Montowano kotły, szykowano fundamenty pod turbiny i rozkopywano ulice dla zakładania przewodów parowych.

Według otrzymanych na budowie informacji, elektrownia ta ma posiadać 4 kotły po 1100 m<sup>2</sup> powierzchni ogrzewalnej, dostar-



czające parę o ciśnieniu 65 *atn* i temperaturze 450°C. Kotły te będą prowadzone pyłem węglowym, spalany w palenisku Lopulco. Dwa z tych kotłów, typu Babcock wykonane były przez I Brneńską Fabrykę Maszyn. Trzeci kocioł typu Stirling trójwalczakowy zbudowano w fabryce „Skoda”. Ostatni kocioł, pochodzi z fabryki „Brünner Königsfelder Maschinenfabrik”.

Turbinownia ma się składać z następujących jednostek:

1. dwie turbiny budowy Erste Brünner o mocy 4500 *kW* każda, na 60 *atn* i 425°C, pracujące z przeciwpężnością 8 *atn*,
2. jedna turbina fabryki „Skoda” o mocy 9000 *kW*, pracująca także parą wlotową do przeciwcisnienia 8 *atn*,
3. jedna turbina budowy Erste Brünner o mocy 6000 *kW*, czysto kondensacyjna, na ciśnienie wlotu 8 *atn*.

Na miasto ma być odstępowana para 8-atmosferowa, wychodząca z turbin przeciwpężnych. Wahań w zapotrzebowaniu mocy, i pary ma podejmować niskopężna turbina kondensacyjna.

Byłoby zrozumiałe zainteresowanie się bliższe pracą i rozwojem tej nowej placówki. Wskazuje ona bowiem najwłaściwsze bodaj drogi dalszego rozwoju elektrowni, pracujących w środowiskach przemysłowych, które używają dla fabrykacji dużych ilości pary.

Dostarczanie bowiem konsumentowi nie tylko energii, ale i pary zapewniłoby wielkim elektrowniom pracę z wyższą jeszcze sprawnością, a ponadto byłoby bodźcem do kasowania małych i najmniejszych instalacji parowych, rozsianych po drobnych fabryczkach, a pracujących przeważnie całkiem nieekonomicznie.

Inż. A. G.

## TURBINA RTĘCIOWA 10000 KW

Turbina rtęciowa zbudowana została dla pracy w połączeniu z turbiną parową. Instalacje oparte na dwóch czynnikach są wynikiem tego, że dotychczas nie posiadamy substancji któraby odpowiadała idealnemu czynnikowi służącemu do przetwarzania energii cieplnej w mechaniczną lub elektryczną. Czynnik taki musiałby odpowiadać conajmniej trzem poniższym warunkom:

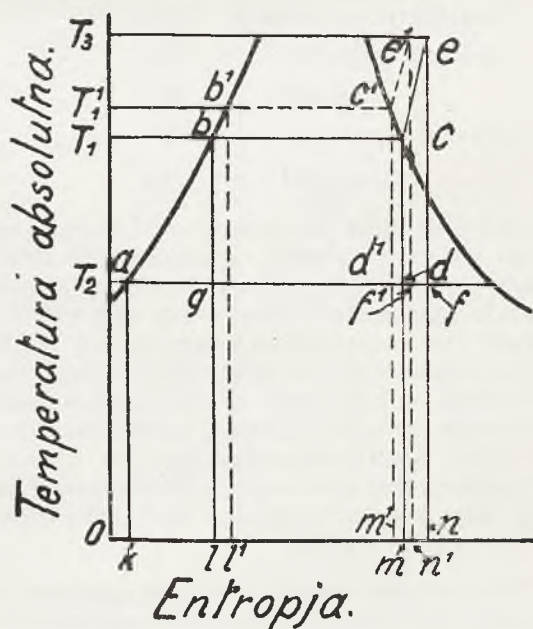
- 1) posiadać wysoką temperaturę wrzenia,
- 2) stosunkowo wysokie ciśnienie przy temperaturze odpowiadającej temperaturze wody chłodzącej, oraz
- 3) możliwie wysoki stosunek

$$\frac{\text{ciepła parowania}}{\text{ciepła właściwego cieczy}}$$

Brak cieczy odpowiadającej powyższym wymaganiom spowodował próby posilgowania się dwoma cieczami współdziałającymi.

Pierwsze próby znane sięgają roku 1850, kiedy Du Tremblay proponował użycie łatwo parujących płynów, jak: eter, dwutlenek siarki i dwusiarczek węgla, współdziałających z wodą. Myśl ta nie znalazła wówczas praktycznego zastosowania gdyż w maszynach parowych wysoka próżnia była nie do osiągnięcia. W turbinach parowych możemy osiągnąć bardzo wysoką próżnię, co daje nam możliwość znacznego podniesienia sprawności cieplnej turbiny parowej. W przedstawionym na rys. 1 cyklu Rankina widzimy, że sprawność cieplna

suchej pary nasyconej wyrazi się stosunkiem  $abcd/kabcm$ , sprawność zaś cieplną pary przegrzanej reprezentuje stosunek  $abcef/kabcen$ . Spółczynnik ten jest nie wiele wyższy, dzięki

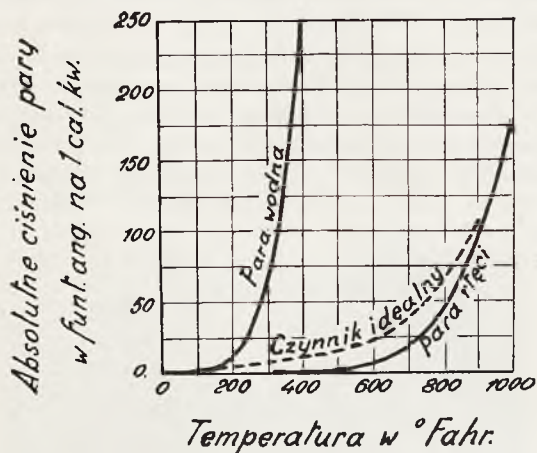


Rys. 1

temu, że nieznaczne ilości ciepła zostały wchłonięte przez parę wodną przy jej przegrzaniu, korzyści przeto jakie przegrzanie pary dać może są dość ograniczone. Jeżeli zaś za-

stosujemy współpracę rtęci i wody, otrzymamy znacznie wyższe współczynniki sprawności cieplnej.

Jeżeli spojrzymy na rys. 2, na którym wskazane są krzywe, wzrostu ciśnienia w zależności od temperatury dla wody, pynu idealnego i rtęci — to stwierdzić będziemy mogli, że rtęć posiada własności bardzo zbliżone do pynu idealnego.



Rys. 2

Współpracę pary, wody i rtęci przedstawia rys. 3 zawierający schemat całej instalacji. Spółczesne silniki cieplne posiadają następującą sprawność termiczną:

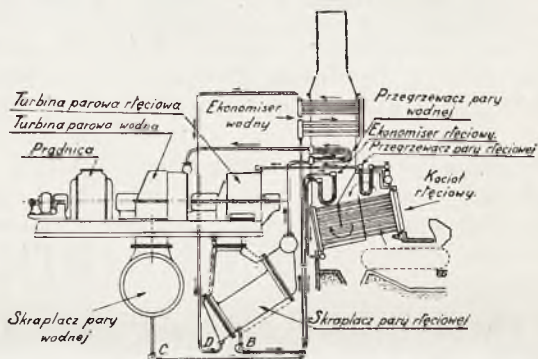
turbina parowa	19,54
motor na gaz ssany	19 — 22
turbina gazowa	24,7
„ rtęciowa	32,3
Diesel dwutakt.	32 — 33
„ czterotakt	34,2

Jeżeli dodamy do sprawności termicznej turbiny na parę wodną sprawność turbiny na parę rtęci, to otrzymamy 51,84, co prawie dokładnie zgadza się z teoretyczną sprawnością instalacji parowo-rtęciowej wynoszącą 51,99. Cyfry te wykazują na korzyść instalacji wodno-rtęciowej około 30% zysku. Jak wynika z podanego poniżej opisu i prób instalacji 10000 KW rezultaty osiągnięte już obecnie przy próbach tej pierwszej przemysłowej instalacji dają 25% oszczędności, co trzeba uznać za b. pomyślne wyniki.

Wyzyskanie energii cieplnej paliwa za pośrednictwem pary rtęci, zostało opracowane przez p. W. Le Roy Emmet z General Electric Company, Schenectady N. Y. i rozwijało się w ciągu kilku lat. Pierwsze doświadczenia wypadły bardzo pomyślnie i nie wykazały żadnych trudności niemożliwych do pokonania. Pomimo to wiele pracy pochłonięło przewy-

ciężenie przeszkód napotykanym zawsze przy realizacji każdego nowego procesu.

Rtęć posiada dwie ujemne własności. Są to jej wysoka cena, wynosząca około 5 sh. za 1 funt i trujące własności pary rtęci. Pod innymi względami zato rtęć jest prawie idealnym płynem przy wysokich temperaturach. Krytyczna temperatura rtęci jest bardzo wysoka, ciśnienie zaś jej jest umiarkowane przy najwyższych temperaturach, jakim mogą podlegać naczynia stalowe. Utażone ciepło parowania jest bardzo wysokie w porównaniu z ciepłem właściwym. Linja pynu wykresu entropijnego jest prawie pionowa i wobec tego pole robocze teoretycznie możliwe w cyklu Rankina mało się różni od wykresu przebiegu Carnota. Ta właściwość prowadzi do wysokiego efektu termodynamicznego i do uproszczenia konstrukcyjnego turbiny.



Rys. 3

W ogólnych zarysach zasada działania jest następująca: Czysta rtęć odparowuje pod wpływem ciepła spalonego węgla podobnie jak się to dzieje ze zwykłą parą. Para rtęci o stosunkowo niskim ciśnieniu ale o bardzo wysokiej temperaturze dopływa do turbiny, która w porównaniu z współczesnymi turbinami jest bardzo prosta. Po przejściu przez turbinę, w której większa część energii rtęci zostaje wyzyskana, rtęć przechodzi przy umiarkowanej próżni do kondensatora, który pełni zarazem funkcję kotła parowego (por. rys. 3). Praca wykonana przez turbinę rtęciową nie wiele się różni od pracy, którą byśmy mogli otrzymać z turbiny parowej przy umiarkowanym ciśnieniu i przegrzaniu pary wodnej, spalając mniej więcej tę samą ilość paliwa. Na 1 KWh wytworzonej w danym wypadku energii przypada około 5000 kCal., przy ciśnieniu odlotowym około 4.44 atn i w próżni 724 mm.

Na tem się kończy podobieństwo do normalnej turbiny. W turbinie tej całe ciepło niewyzyskane w samej turbinie lub na podgrzewanie wody zasilającej jest stracone i znika wraz wodą chłodzącą kondensatora. W tych warunkach straty wynoszą około 70%. Przy zastosowaniu zaś rtęci ciepło zawarte w rtęci



po wyjściu z turbiny wynosi około 60% pierwotnej ilości i nie jest stracone, gdyż temperatura pary rtęci jest dostatecznie wysoka, by wyprodukować parę wodną o wysokim ciśnieniu. Wobec tego pozostałe w rtęci ciepło jest zużytkowane w wodno-parowej części instalacji. Para wodna wytwarzana jest nadzwyczaj prostymi środkami i z wysoką sprawnością, ponadto zaś gazy spalinowe opuszczające kanały kotła rtęciowego zostają użyte do przegrzania pary lub do podgrzewania ekonomizerów.

Wobec tego produkcja turbiny parowej może być traktowana jako produkcja uboczna. Poza nieuniknionymi stratami w gazach, promieniowaniu i t. p. ciepło paliwa kotła rtęciowego zużywane jest całkowicie albo w turbinie rtęciowej albo też przy wytwarzaniu i przegrzewaniu pary turbiny parowej. Dzięki temu część rtęciowa instalacji wytwarza 1 *KWh* kosztem zaledwie 1008 *kCal*.

Próbna instalacja oparta na tej zasadzie była zmontowana w Hartford w r. 1923. Obecnie zbudowano turbinę rtęciową na 10.000 *KWh*. Wyniki badania tej turbiny podane są w tabeli I.

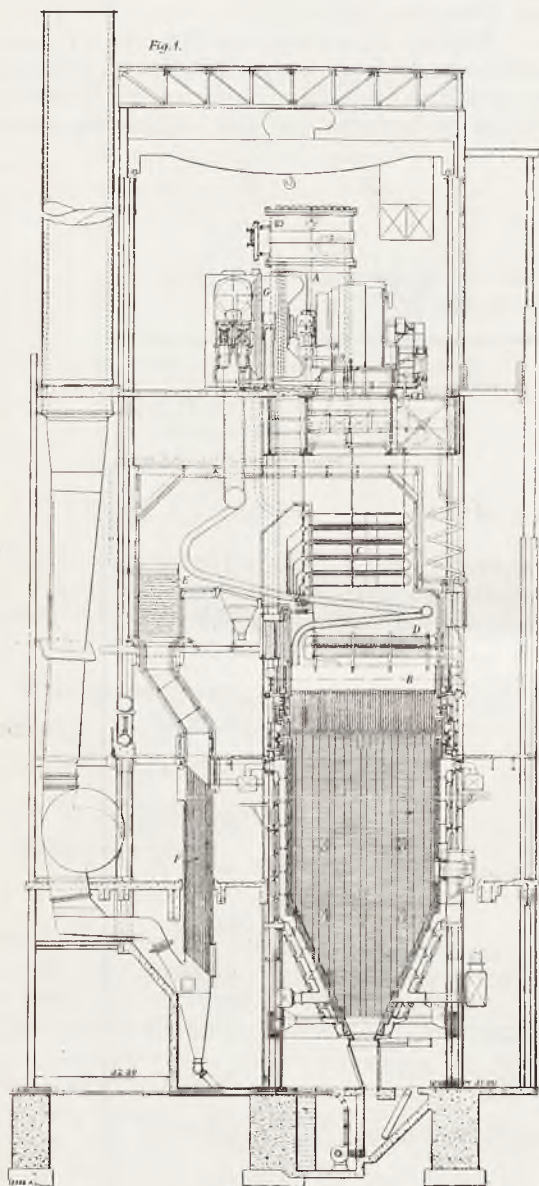
T A B E L A I.

Wyniki otrzymane przy badaniu rtęciowo-parowej instalacji turbinowej na stacji South Meadow Hartford Electric Company.

Obciążenie turbiny rtęciowej . . . . .	10.000 <i>kW</i>
Ilość obrotów turbiny rtęciowej . . . . .	725 <i>obr</i>
Para wodna wytworzona w ciągu godziny . . .	58514,4 <i>kg</i>
Temperatura wody zasilającej ekonomizer . . . .	102° C
Ciśnienie pary . . . . .	18,3 <i>atn</i>
Temperatura pary . . . . .	360° C
Ciśnienie pary rtęci . . . . .	4.44 <i>at</i>
Temperatura pary rtęci . . . . .	473° C
Próżnia w kondensatorze rtęciowym. . . . .	38,1 <i>mm</i>
Temperatura w kondensatorze rtęciowym. . . .	227° C
CO <sub>2</sub> w gazach spalinowych . . . . .	14,25 %
Temperatura gazów poza kotłem rtęciowym. . .	649° C
Temperaturę gazów za podgrzewaczem rtęci . .	532° C
Temperatura za przegrzewaczem pary . . . . .	348° C
Temperatura gazów za ekonomizerem wodnym .	265° C
Temperatura gazów w kominie. . . . .	160° C
Temperatura powietrza przy wejściu do podgrzewacza. . . . .	24° C
Temperatura powietrza po wyjściu z podgrzewacza	196° C
Temperatura powietrza przy wejściu do paleniska	227° C
Ilość węgla spalonego na godzinę . . . . .	6804,00 <i>kg</i>
Wartość cieplna użytkowa . . . . .	8122 <i>kCal</i>

Jeżeli wytworzona para zostaje zużyta w turbinie wysokiej wartości z dobrą próżnią, to na wytworzenie 1 *KWh* energii przypadać będzie mniej niż 2520 *kCal*.

We współczesnych turbinach o wysokim ciśnieniu stosunek ten wynosi 3150 *kCal*. Jak widzimy z podanych wyżej cyfr w kombinowanej



Rys. 4

turbinie rtęciowej otrzymujemy około 25% więcej energii z jednostki paliwa w porównaniu z instalacją parową. P. Emmet twierdzi, że wyniki te nie są zadowalniające i zamierza osiągnąć znacznie lepsze. Para produkowana w instalacji posiada znacznie niższe ciśnienie od zaprojektowanego. Niewielkie zmiany urządzeń mogły by znacznie polepszyć wyniki. Ostatnie badania dowiodły, że para rtęciowa o znacznie wyższym ciśnieniu może być użyta bez żadnych trudności, a zatem znacznie więk-

sza ilość ciepła paliwa może być zużyta na wytwarzanie pary rtęci. Rozwinięcie tych możliwości wraz z lepszym wyzyskaniem wytworzonej pary dałoby dla procesu Mr. Emmeta stosunek 2142 *kCal* na 1 *KWh*. Tę niską cyfrę otrzymalibyśmy, gdybyśmy całe ciepło rtęciowej turbiny zużyli w kondensatorze na wytwarzanie pary. W opisywanej instalacji znaczna część ciepła odchodzących gazów jest zużywana w ekonomizerze wodnym.

Podłużny przekrój turbiny 10.000 *KW* w Hartford podaje się rys. 4. W porównaniu z zajmowaną powierzchnią instalacja jest stosunkowo wysoka. Dzięki temu skraplająca się w kondensatorze rtęć własnym ciężarem spływa do kotła i pompy zasilające są zbędne. Kocioł rtęciowy—B składa się z siedmiu sekcji połączonych równolegle. Powierzchnia ogrzewalna składa się z powierzchni rurek, których każda sekcja posiada osiem rzędów po 54 rurki w każdym. Rurki te są zaopatrzone w wewnętrzne koncentryczne rurki, które służą do oddzielenia drogi pary rtęciowej od spływającej z kondensatorów rtęci płynnej co przy rtęci jest szczególnie ważne wobec dużej gęstości płynu. Wyparowywanie odbywa się w wąskiej przestrzeni między zewnętrzną rurką i wewnętrzną, dzięki czemu powstaje ożywiona cyrkulacja. Dolny koniec rurki jest zawsze wypełniony rtęcią na kilka cali. Doskonała wymiana ciepła jest wynikiem tej konstrukcji, która odsuwa zarazem niebezpieczeństwo przegrzania rurek. Wszystkie połączenia rurek i bębnow są spawane. Wygląd paleniska przedstawiony jest na rys. 5.

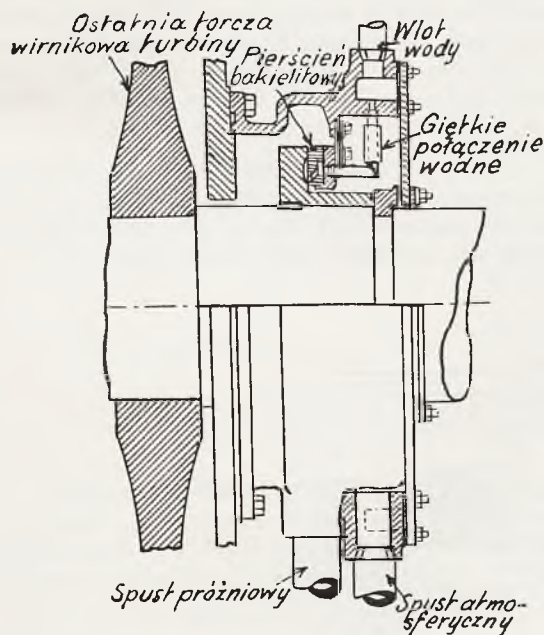


Rys. 5

Jak widzimy z rys. 4 niewielka zaledwie część komory paleniskowej zużyta jest dla odparowywania rtęci. W projektowanych instalacjach p. Emmet zamierza zgodnie z współczesną praktyką zamienić ściany paleniska elementami odparowywującymi. W ten sposób powierzchnia ogrzewalna kotła znacznie się powiększy bez dużych kosztów i bez zwiększania objętości. Obliczenia stwierdzają, że taka stacja będzie mniej kosztowna od nowoczesnej instalacji parowej. W instalacji w Hartford nie zastosowano na razie wszystkich możliwych udoskonaleń. Kocioł posiada



przegrzewacz pary wodnej — *C*, podgrzewacz rtęci — *D*, ekonomizer wodny — *E* i podgrzewacz powietrza — *F*. Turbina rtęciowa — *G*, jest umieszczona bezpośrednio na kotle.



Rys. 6

Normalna liczba obrotów turbiny wynosi około 720 na minutę, szybkość wylotowa pary rtęciowej odpowiada mniej więcej  $\frac{1}{3}$  szybkości pary wodnej przy tym samym spadku ciśnienia. Największa prędkość obwodowa łopatek powstaje w ostatnim rzędzie

i odpowiada około 103 m/s lecz temperatura pary jest tam już stosunkowo niska. Turbina jest zmontowana na przedłużeniu wału generatora. Taka konstrukcja pozwala uniknąć uszczelniających dławnic na wysoko-ciśnieniowym końcu wału turbiny. Ciśnienie wylotowe jest znacznie niższe od atmosferycznego i wydobywanie się pary rtęci na zewnątrz nie grozi. Urządzenie dławnicy podaje rys. 6. Składa się ono z pierścienia bakelitowego, który jest dociskany do specjalnego kołnierza, umocowanego na wale. Pierścień jest uszczelniany i jednocześnie smarowany wodą doprowadzaną przez elastyczne połączenie. Ta konstrukcja zapewnia idealną próżnię w stanie spoczynku i w ruchu, i może być ustawiona, w taki sposób, że ani woda ani para nie przenikną do rtęciowej części turbiny.

Wszystkie zawory oraz wszystkie części turbiny, znajdujące się pod ciśnieniem pary rtęci otoczone są koszulkami szczelnymi w stosunku do zewnętrznego powietrza. Wewnątrz koszułek panuje stała próżnia wskutek połączenia z kominem. Jeżeli para rtęci przedostałaby się do jednej z tych części, to para ta zostałaby wyrzuconą z odchodzącymi gazami do komina. Oprócz tego zastosowano urządzenie, które natychmiast sygnalizuje najmniejszą ilość rtęci zawartą w gazach odchodzących. Wstążka ze specjalnie spreparowanego papieru przechodzi przez te gazy i w razie znajdowania się w nich rtęci papier natychmiast ciemnieje.

Instalacja w Hartford wykazała wyjątkowo mały rozchód paliwa. Tabela II zawiera odnośne zestawienie za dwa miesiące ub. roku.

T A B E L A II.

Zestawienie dla rtęciowej turbiny 10.000 kW, Hartford Electric Light Co.

	Wrzesień	Październik
Węgla spalono kg . . . . .	4.452.723	4.595.532,75
Wody odparowano kg . . . . .	36.812.250	39.253.500
Wydajność rtęciowej turbiny kWh . . . . .	6.079.000	6.296.000
Równoczesna wydajność parowej turbiny kWh . . . . .	8.180.000	8.723.000
Zużyto na stacji (obsługa stacji) kWh . . . . .	272.180	271.610
Ogólna wydajność netto kWh . . . . .	13.987.320	14.747.390
Ilość spalonego węgla na 1 kWh/kg . . . . .	0,32	0,31
Ilość godzin pracy . . . . .	660	686
Spółczynnik obciążenia . . . . .	84,7	86,4

P. Emmet ma zamiar zastosować instalację rtęciową do uruchamiania statków i przypuszcza, że rozchód paliwa nie będzie większy niż 50% normalnego, a przestrzeń zaj-

mowana przez instalację, będzie znacznie mniejsza.

A. G.

